

## Решение пространственной задачи теории упругости в перемещениях для изотропного упругого слоя

Н. М. Бородачев, В. В. Астанин

Национальный авиационный университет, Киев, Украина

*Предлагается новый метод решения пространственной задачи теории упругости для слоя в перемещениях. В рамках данного подхода удовлетворять граничные условия на поверхностях слоя гораздо проще, чем при использовании известных способов. Рассмотрен пример, который доведен до численных результатов.*

**Ключевые слова:** теория упругости в перемещениях, упругий слой, вектор перемещений, гармонический вектор, гармонический скаляр, преобразование Фурье.

**Введение.** В настоящее время для решения пространственных задач теории упругости в перемещениях широко используется представление Папковича–Нейбера. Однако при этом возникают серьезные трудности в случае удовлетворения граничным условиям, если они являются сложными. На это обстоятельство указывал Папкович в работе [1].

Предлагаемое решение позволяет сравнительно просто удовлетворять граничные условия для упругого полупространства и упругого слоя конечной толщины. Обзор работ, посвященных исследованию упругого слоя, содержится в [2–6].

Рассматривается изотропный упругий слой  $[0 \leq x_3 \leq h]$ . Воспользуемся прямоугольной системой координат  $x_1, x_2, x_3$ , ось  $x_3$  которой перпендикулярна к граничным поверхностям тела. Для задачи в перемещениях имеем такие граничные условия:

$$\begin{aligned} \text{при } x_3 = 0 \quad & \sigma_{3j} = f_j^0(x_1, x_2), \quad j = 1, 2, 3; \\ \text{при } x_3 = h \quad & \begin{cases} \sigma_{3j} = f_j^h(x_1, x_2), \\ u_3 = g_3^h(x_1, x_2), \end{cases} \quad j = 1, 2, \end{aligned} \quad (1)$$

где  $\sigma_{ij}$  – компоненты тензора напряжений;  $u_3$  – проекция вектора перемещений на ось  $x_3$ . Полагаем, функции  $f_j^0$  и  $f_j^h$  таковыми, что удовлетворяются все шесть уравнений статики.

Для обеспечения затухания компонент вектора перемещений и тензора напряжений на бесконечности необходимо, чтобы функции  $f_j^0$  имели ненулевое значение в конечных областях  $\Omega_j^0$  плоскости  $x_3 = 0$ , а функции  $f_j^h$  и  $g_3^h$  – в конечных областях  $\Omega_j^h$  плоскости  $x_3 = h$ .

Дифференциальное уравнение пространственной задачи теории упругости в перемещениях при отсутствии объемных сил имеет вид [7]

$$\Delta \mathbf{u} + \frac{1}{1-2\nu} \nabla(\nabla \cdot \mathbf{u}) = 0, \quad (2)$$

где  $\mathbf{u}$  – вектор перемещений;  $\nu$  – коэффициент Пуассона;  $\Delta$  – оператор Лапласа в  $R^3$ ;  $\nabla$  – набла-оператор в  $R^3$ .

Требуется построить решение уравнения (2), удовлетворяющее граничным условиям (1).

**Решение для упругого слоя.** В [8] показано, что уравнение (2) будет удовлетворено, если для вектора перемещений  $\mathbf{u}$  принять следующее представление:

$$\mathbf{u} = \mathbf{B} - \frac{1}{2(1-2\nu)} x_3 \nabla \varphi, \quad (3)$$

где

$$\Delta \mathbf{B} = 0; \quad \Delta \varphi = 0; \quad \frac{\partial \varphi}{\partial x_3} = \frac{2(1-2\nu)}{3-4\nu} \nabla \cdot \mathbf{B}. \quad (4)$$

Таким образом, формула (3) определяет вектор перемещений  $\mathbf{u}$  через гармонический вектор  $\mathbf{B}$  и гармонический скаляр  $\varphi$ , связанные между собой третьим соотношением (4).

В компонентах декартовой системы координат выражение (3) имеет вид

$$\begin{aligned} u_1 &= B_1 - \alpha x_3 \frac{\partial \varphi}{\partial x_1}; \\ u_2 &= B_2 - \alpha x_3 \frac{\partial \varphi}{\partial x_2}; \\ u_3 &= B_3 - \alpha x_3 \frac{\partial \varphi}{\partial x_3}, \quad \alpha = \frac{1}{2(1-2\nu)}. \end{aligned} \quad (5)$$

С помощью формулы (5) и известных соотношений между компонентами тензора напряжений и вектора перемещений находим

$$\begin{cases} \sigma_{11} = 2\mu \left( \frac{\nu}{1-2\nu} \frac{\partial \varphi}{\partial x_3} + \frac{\partial B_1}{\partial x_1} - \alpha x_3 \frac{\partial^2 \varphi}{\partial x_1^2} \right); \\ \sigma_{22} = 2\mu \left( \frac{\nu}{1-2\nu} \frac{\partial \varphi}{\partial x_3} + \frac{\partial B_2}{\partial x_2} - \alpha x_3 \frac{\partial^2 \varphi}{\partial x_2^2} \right); \\ \sigma_{33} = 2\mu \left( -\frac{1}{2} \frac{\partial \varphi}{\partial x_3} + \frac{\partial B_3}{\partial x_3} - \alpha x_3 \frac{\partial^2 \varphi}{\partial x_3^2} \right); \\ \sigma_{12} = \mu \left( \frac{\partial B_1}{\partial x_2} + \frac{\partial B_2}{\partial x_1} - 2\alpha x_3 \frac{\partial^2 \varphi}{\partial x_1 \partial x_2} \right); \end{cases} \quad (6a)$$

$$\begin{cases} \sigma_{23} = \mu \left( \frac{\partial B_2}{\partial x_3} + \frac{\partial B_3}{\partial x_2} - \alpha \frac{\partial \varphi}{\partial x_2} - 2\alpha x_3 \frac{\partial^2 \varphi}{\partial x_2 \partial x_3} \right); \\ \sigma_{31} = \mu \left( \frac{\partial B_3}{\partial x_1} + \frac{\partial B_1}{\partial x_3} - \alpha \frac{\partial \varphi}{\partial x_1} - 2\alpha x_3 \frac{\partial^2 \varphi}{\partial x_1 \partial x_3} \right), \end{cases} \quad (66)$$

где  $\sigma_{ij}$  – компоненты тензора напряжений;  $\mu$  – модуль сдвига.

Ниже будет использоваться двухмерное интегральное преобразование Фурье. Двухмерная трансформанта Фурье некоторой функции  $f(x_1, x_2, x_3)$  имеет вид [9]

$$\bar{f}(\xi_1, \xi_2, x_3) = \frac{1}{2\pi} \int_{-\infty}^{\infty} \int_{-\infty}^{\infty} f(x_1, x_2, x_3) e^{i(\xi_1 x_1 + \xi_2 x_2)} dx_1 dx_2.$$

Применим к выражениям (5) и (6) двухмерное преобразование Фурье и с учетом затухания перемещений и напряжений на бесконечности получим

$$\begin{cases} \bar{u}_1 = \bar{B}_1 + i\xi_1 \alpha x_3 \bar{\varphi}; \\ \bar{u}_2 = \bar{B}_2 + i\xi_2 \alpha x_3 \bar{\varphi}; \\ \bar{u}_3 = \bar{B}_3 - \alpha x_3 \frac{\partial \bar{\varphi}}{\partial x_3}; \end{cases} \quad (7)$$

$$\begin{cases} \bar{\sigma}_{11} = 2\mu \left( \frac{\nu}{1-2\nu} \frac{\partial \bar{\varphi}}{\partial x_3} - i\xi_1 \bar{B}_1 + \xi_1^2 \alpha x_3 \bar{\varphi} \right); \\ \bar{\sigma}_{22} = 2\mu \left( \frac{\nu}{1-2\nu} \frac{\partial \bar{\varphi}}{\partial x_3} - i\xi_2 \bar{B}_2 + \xi_2^2 \alpha x_3 \bar{\varphi} \right); \\ \bar{\sigma}_{33} = 2\mu \left( -\frac{1}{2} \frac{\partial \bar{\varphi}}{\partial x_3} + \frac{\partial \bar{B}_3}{\partial x_3} - \alpha x_3 \frac{\partial^2 \bar{\varphi}}{\partial x_3^2} \right); \\ \bar{\sigma}_{12} = \mu (-i\xi_2 \bar{B}_1 - i\xi_1 \bar{B}_2 + 2\xi_1 \xi_2 \alpha x_3 \bar{\varphi}); \\ \bar{\sigma}_{23} = \mu \left( \frac{\partial \bar{B}_2}{\partial x_3} - i\xi_2 \bar{B}_3 + i\xi_2 \alpha \bar{\varphi} + 2i\xi_2 \alpha x_3 \frac{\partial \bar{\varphi}}{\partial x_3} \right); \\ \bar{\sigma}_{31} = \mu \left( -i\xi_1 \bar{B}_3 + \frac{\partial \bar{B}_1}{\partial x_3} + i\xi_1 \alpha \bar{\varphi} + 2i\xi_1 \alpha x_3 \frac{\partial \bar{\varphi}}{\partial x_3} \right). \end{cases} \quad (8)$$

Каждая компонента  $B_j$  гармонического вектора  $\mathbf{B}$  удовлетворяет уравнению Лапласа

$$\Delta B_j = 0, \quad j = 1, 2, 3. \quad (9)$$

Гармонический скаляр  $\varphi$  также удовлетворяет уравнению Лапласа

$$\Delta \varphi = 0. \quad (10)$$

Применяя к уравнениям (9) и (10) двухмерное преобразование Фурье и решая полученные обыкновенные дифференциальные уравнения, находим

$$\bar{B}_j(\xi_1, \xi_2, x_3) = A_j(\xi_1, \xi_2) \operatorname{sh}(kx_3) + C_j(\xi_1, \xi_2) \operatorname{ch}(kx_3); \quad (11)$$

$$\bar{\varphi}(\xi_1, \xi_2, x_3) = A_0(\xi_1, \xi_2) \operatorname{sh}(kx_3) + C_0(\xi_1, \xi_2) \operatorname{ch}(kx_3), \quad (12)$$

где  $k^2 = \xi_1^2 + \xi_2^2$ ,  $j = 1, 2, 3$ .

**Удовлетворение граничным условиям.** Преобразованные по Фурье граничные условия (1) принимают следующий вид:

$$\begin{aligned} \text{при } x_3 = 0 \quad & \bar{\sigma}_{3j} = \bar{f}_j^0(\xi_1, \xi_2), \quad j = 1, 2, 3; \\ \text{при } x_3 = h \quad & \begin{cases} \bar{\sigma}_{3j} = \bar{f}_j^h(\xi_1, \xi_2), \\ \bar{u}_3 = \bar{g}_3^h(\xi_1, \xi_2), \end{cases} \quad j = 1, 2. \end{aligned} \quad (13)$$

С помощью формул (7), (8), (11), (12) при удовлетворении условиям (13) получим систему уравнений:

$$\left\{ \begin{aligned} kA_1 - i\xi_1 C_3 + i\xi_1 \alpha C_0 &= \frac{\bar{f}_1^0}{\mu}; \\ kA_2 - i\xi_2 C_3 + i\xi_2 \alpha C_0 &= \frac{\bar{f}_2^0}{\mu}; \\ 2kA_3 - kA_0 &= \frac{\bar{f}_3^0}{\mu}; \\ k[A_1 \operatorname{ch}(kh) + C_1 \operatorname{sh}(kh)] - i\xi_1 [A_3 \operatorname{sh}(kh) + C_3 \operatorname{ch}(kh)] + \\ + i\xi_1 \alpha \{A_0 [\operatorname{sh}(kh) + 2kh \operatorname{ch}(kh)] + C_0 [\operatorname{ch}(kh) + 2kh \operatorname{sh}(kh)]\} &= \frac{\bar{f}_1^h}{\mu}; \\ k[(A_2 \operatorname{ch}(kh) + C_2 \operatorname{sh}(kh))] - i\xi_2 [A_3 \operatorname{sh}(kh) + C_3 \operatorname{ch}(kh)] + \\ + i\xi_2 \alpha \{A_0 [\operatorname{sh}(kh) + 2kh \operatorname{ch}(kh)] + C_0 [\operatorname{ch}(kh) + 2kh \operatorname{sh}(kh)]\} &= \frac{\bar{f}_2^h}{\mu}; \\ A_3 \operatorname{sh}(kh) + C_3 \operatorname{ch}(kh) - \alpha kh [A_0 \operatorname{ch}(kh) + C_0 \operatorname{sh}(kh)] &= \bar{g}_3^h; \\ i\xi_1 A_1 + i\xi_2 A_2 - kC_3 + \frac{kC_0}{\beta} &= 0; \\ i\xi_1 C_1 + i\xi_2 C_2 - kA_3 + \frac{kA_0}{\beta} &= 0, \end{aligned} \right. \quad (14)$$

где

$$\alpha = \frac{1}{2(1-2\nu)}; \quad \beta = \frac{2(1-2\nu)}{3-4\nu};$$

величины  $\bar{f}_1^0, \bar{f}_2^0, \bar{f}_3^0, \bar{f}_1^h, \bar{f}_2^h, \bar{g}_3^h$  полагаем известными.

При получении двух последних уравнений (14) использовали третье соотношение из (4), преобразованное по Фурье. Решая систему уравнений (14), находим величины  $A_0, C_0, A_1, C_1, A_2, C_2, A_3, C_3$ . (Выражения для этих величин в общем виде не приведены из-за громоздкости. Более детально их определение будет рассмотрено на примере.) Затем по формулам (11), (12) восстанавливаем трансформанты Фурье гармонических функций  $\bar{V}_j(\xi_1, \xi_2, x_3)$ ,  $j = 1, 2, 3$  и  $\bar{\varphi}(\xi_1, \xi_2, x_3)$ . И, наконец, по формулам (7), (8) определяем трансформанты Фурье компонент вектора перемещений и тензора напряжений. Чтобы получить окончательные формулы для перемещений и напряжений, следует применить теорему обращения для двухмерного преобразования Фурье. В некоторых случаях оказывается полезной также теорема о свертках для этого преобразования.

Систему уравнений (14) можно решить в символьном виде на ЭВМ с использованием правила Крамера.

*Пример.* Рассмотрим упругий изотропный слой толщиной  $h$  ( $0 \leq x_3 \leq h$ ), расположенный на жестком недеформируемом основании. Полагаем, что силы трения между слоем и основанием отсутствуют. Упругий слой сжимается нормальными усилиями, равномерно распределенными по квадрату, расположенному в плоскости  $x_3 = 0$  (рис. 1). Каждая сторона квадрата равна  $2a$ .

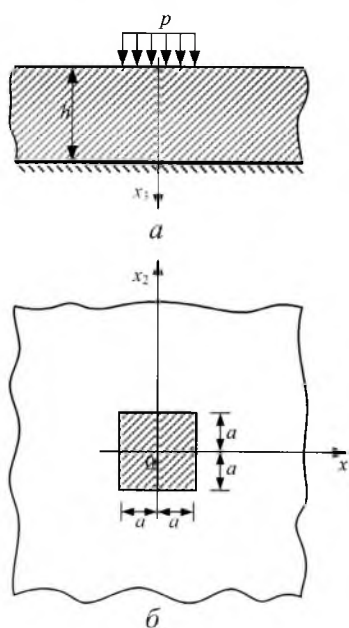


Рис. 1. Схема нагружения упругого слоя:  $a$  – поперечное сечение;  $b$  – в плане.

В данном случае в граничных условиях (1) принимаем

$$f_1^0 = f_2^0 = f_1^h = f_2^h = g_3^h = 0;$$

$$f_3^0(x_1, x_2) = -P \begin{cases} 1 & \text{при } |x_1| < a, \quad |x_2| < a; \\ 0 & \text{при } |x_1| > a, \quad |x_2| > a. \end{cases} \quad (15)$$

С учетом соотношений (15) получим

$$\begin{aligned} \bar{f}_1^0 &= \bar{f}_2^0 = \bar{f}_1^h = \bar{f}_2^h = \bar{g}_3^h = 0; \\ \bar{f}_3^0(\xi_1, \xi_2) &= \frac{1}{2\pi} \int_{-\infty}^{\infty} \int_{-\infty}^{\infty} f_3^0(x_1, x_2) e^{i(\xi_1 x_1 + \xi_2 x_2)} dx_1 dx_2 = \\ &= -\frac{P}{2\pi} \int_{-a}^a \int_{-a}^a e^{i(\xi_1 x_1 + \xi_2 x_2)} dx_1 dx_2. \end{aligned} \quad (16)$$

В результате вычисления этого интеграла находим

$$\bar{f}_3^0(\xi_1, \xi_2) = -\frac{2p}{\pi} \frac{\sin a\xi_1 \sin a\xi_2}{\xi_1 \xi_2}. \quad (17)$$

При решении системы уравнений (14) с учетом соотношений (16), (17) имеем

$$\begin{cases} A_1 = -8\omega(1-3\nu+2\nu^2)i\xi_1 k^5 \text{sh}^3(kh); \\ C_1 = 8\omega i\xi_1 k^5 \text{sh}(kh)[-(1-\nu)kh + (1-3\nu+2\nu^2)\text{sh}(kh)\text{ch}(kh)]; \\ A_2 = -8\omega(1-3\nu+2\nu^2)i\xi_2 k^5 \text{sh}^3(kh); \\ C_2 = 8\omega i\xi_2 k^5 \text{sh}(kh)[-(1-\nu)kh + (1-3\nu+2\nu^2)\text{sh}(kh)\text{ch}(kh)]; \\ A_3 = 8\omega(1-\nu)k^6 \text{sh}(kh)[kh + 2(1-\nu)\text{sh}(kh)\text{ch}(kh)]; \\ C_3 = -16\omega(1-\nu)^2 k^6 \text{sh}^3(kh); \\ A_0 = 16\omega(1-\nu)(1-2\nu)k^6 \text{sh}^2(kh)\text{ch}(kh); \\ C_0 = -16\omega(1-\nu)k^7 \text{sh}(kh)[kh + \text{sh}(kh)\text{ch}(kh)], \end{cases} \quad (18)$$

где

$$\omega = -\frac{2p}{\mu D} \frac{\sin a\xi_1 \sin a\xi_2}{\xi_1 \xi_2}; \quad (19)$$

$$D = 16(1-\nu)k^7 \text{sh}(kh)[kh + \text{sh}(kh)\text{ch}(kh)]. \quad (20)$$

Подставим соотношения (18) в выражения (11) и (12). В результате получим формулы для определения трансформант Фурье гармонических функций  $\bar{B}_j$  и  $\bar{\varphi}$ . Затем с помощью соотношений (7) и (8) находим трансформанты Фурье компонент вектора перемещений и тензора напряжений. Для получения окончательных формул для перемещений и напряжений необходимо воспользоваться теоремой обращений для двухмерного преобразования Фурье.

Чтобы показать более детально ход дальнейших вычислений, рассмотрим определение нормального напряжения  $\sigma_3(x_1, x_2, x_3)$ .

Подставим в третью формулу (8) выражения для  $\bar{B}_3$  и  $\bar{\varphi}$  из (11), (12):

$$\begin{aligned} \bar{\sigma}_{33} = 2\mu k & \left[ \operatorname{ch}(kx_3) \left( -\frac{1}{2}A_0 + A_3 - \alpha kx_3 C_0 \right) + \right. \\ & \left. + \operatorname{sh}(kx_3) \left( -\frac{1}{2}C_0 + C_3 - \alpha(kx_3)A_0 \right) \right]. \end{aligned} \quad (21)$$

С учетом в (21) соотношений для  $A_0, C_0, A_3, C_3$  (18) находим

$$\begin{aligned} \bar{\sigma}_{33}(\xi_1, \xi_2, x_3) = \frac{\bar{f}_3^0}{kh + \operatorname{sh}(kh)\operatorname{ch}(kh)} \times \\ \times \{ kh\operatorname{ch}(kx_3) + \operatorname{sh}(kh)[\operatorname{ch}k(h - x_3) + kx_3\operatorname{sh}k(h - x_3)] \}, \end{aligned} \quad (22)$$

где величина  $\bar{f}_3^0$  определяется по формуле (17).

В результате применения к (22) теоремы обращения для двумерного преобразования Фурье получим

$$\begin{aligned} \sigma_3(x_1, x_2, x_3) = \\ = -\frac{2p}{\pi^2} \int_{-\infty}^{\infty} \int_{-\infty}^{\infty} e^{-i(\xi_1 x_1 + \xi_2 x_2)} F_1(k, x_3) \frac{\sin(a\xi_1) \sin(a\xi_2)}{\xi_1 \xi_2 [2kh + \operatorname{sh}(2kh)]} d\xi_1 d\xi_2, \end{aligned} \quad (23)$$

где

$$F_1(k, x_3) = (kh)\operatorname{ch}(kx_3) + \operatorname{sh}(kh)[\operatorname{ch}(kh - kx_3) + (kx_3)\operatorname{sh}(kh - kx_3)].$$

Проведем замену переменных и введем обозначения:

$$\begin{aligned} y_j = \frac{x_j}{a}, \quad j = 1, 2, 3; \quad -\infty < y_1, y_2 < \infty; \quad 0 \leq y_3 \leq \varepsilon; \\ \varepsilon = \frac{h}{a}; \quad \gamma_1 = a\xi_1; \quad \gamma_2 = a\xi_2; \quad \gamma = (\gamma_1^2 + \gamma_2^2)^{1/2}. \end{aligned}$$

Тогда формула (23) преобразуется следующим образом:

$$\begin{aligned} \sigma_{33}(y_1, y_2, y_3) = \\ = -\frac{8p}{\pi^2} \int_0^{\infty} \int_0^{\infty} \frac{\sin \gamma_1 \sin \gamma_2 \cos(y_1 \gamma_1) \cos(y_2 \gamma_2)}{\gamma_1 \gamma_2 [2\varepsilon \gamma + \operatorname{sh}(2\varepsilon \gamma)]} F(\gamma, y_3) d\gamma_1 d\gamma_2, \end{aligned} \quad (24)$$

где

$$F(\gamma, y_3) = (\varepsilon \gamma)\operatorname{ch}(\gamma y_3) + \operatorname{sh}(\varepsilon \gamma)[\operatorname{ch}(\varepsilon \gamma - \gamma y_3) + (\gamma y_3)\operatorname{sh}(\varepsilon \gamma - \gamma y_3)].$$

Двойной интеграл, входящий в (24), по-видимому, в общем случае нельзя вычислить в конечном виде. Для этого необходимо применять численные методы. Можно показать [10], что формула (24) точно удовлетворяет шестому граничному условию (15) на всей плоскости  $y_3 = 0$ .

В частном случае при  $y_1 = y_2 = y_3 = 0$  имеем

$$F(\gamma, 0) = \frac{1}{2}[2\varepsilon\gamma + \text{sh}(2\varepsilon\gamma)],$$

и из формулы (24) следует

$$\sigma_{33}(0, 0, 0) = -\frac{4p}{\pi^2} \int_0^\infty \int_0^\infty \frac{\sin \gamma_1 \sin \gamma_2}{\gamma_1 \gamma_2} d\gamma_1 d\gamma_2 = -p.$$

Вычислим напряжение  $\sigma_{33}$  в ряде точек, расположенных на оси  $Oy_3$ . В этом случае  $y_1 = y_2 = 0$ , и формула (24) принимает вид

$$\sigma_{33}(0, 0, y_3) = -\frac{8p}{\pi^2} \int_0^\infty \int_0^\infty \frac{\sin \gamma_1 \sin \gamma_2 F(\gamma, y_3)}{\gamma_1 \gamma_2 [2\varepsilon\gamma + \text{sh}(2\varepsilon\gamma)]} d\gamma_1 d\gamma_2. \quad (25)$$

Двойной интеграл, входящий в (25), вычисляли численно на ЭВМ с помощью квадратурных формул. Верхние пределы вместо  $\infty$  принимали равными 50, при этом точными оказались первые пять значащих цифр. Вычисления проводили при  $\varepsilon = 2$  и 3. Тогда

$$\sigma_{33}(0, 0, y_3) = -p\psi(y_3).$$

Графики функции  $\psi(y_3)$  представлены на рис. 2.

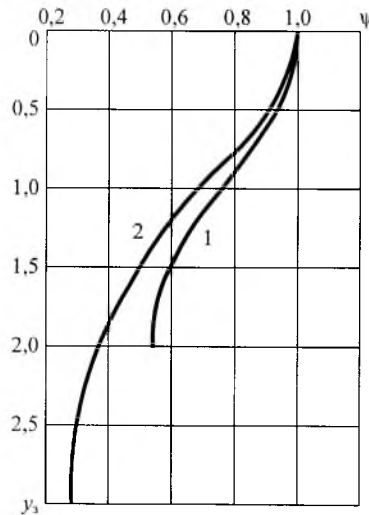


Рис. 2. Зависимость функции  $\psi$  от  $y_3$ : 1 —  $h/a = 2$ ; 2 —  $h/a = 3$ .



**Заключение.** Предложен новый метод решения задачи о равновесии упругого слоя, который позволяет более просто удовлетворять граничным условиям. Рассмотрен пример, доведенный до числовых результатов.

## Резюме

Запропоновано новий метод розв'язку просторової задачі теорії пружності для шару в переміщеннях. У рамках даного підходу задовольнити граничні умови на поверхнях шару набагато простіше, ніж при використанні відомих способів. Розглянуто доведений до числових результатів приклад.

1. Папкович П. Ф. Теория упругости. – Л.; М.: Оборонгиз, 1939. – 640 с.
2. Ворovich И. И., Александров В. М., Бабешко В. А. Неклассические смешанные задачи теории упругости. – М.: Наука, 1974. – 455 с.
3. Гринченко В. Т., Улитко А. Ф. Равновесие упругих тел канонической формы. – Киев: Наук. думка, 1985. – 280 с.
4. Лурье А. И. Пространственные задачи теории упругости. – М.: Гос. изд-во техн.-теорет. лит., 1955. – 491 с.
5. Уфлянд Я. С. Интегральные преобразования в задачах теории упругости. – Л.: Наука, 1967. – 402 с.
6. Шапиро Г. С. О распределении напряжений в неограниченном слое // Прикл. математика и механика. – 1944. – 8, вып. 2. – С. 167 – 168.
7. Лурье А. И. Теория упругости. – М.: Наука, 1970. – 939 с.
8. Бородачев Н. М., Астанин В. В. Об одном методе решения пространственной задачи теории упругости в перемещениях // Пробл. прочности. – 2003. – № 3. – С. 62 – 69.
9. Davies B. Integral Transforms and Their Applications. – Berlin: Springer-Verlag, 1978. – 411 p.
10. Градштейн И. С., Рыжик И. М. Таблицы интегралов, сумм, рядов и произведений. – М.: Наука, 1971. – 1108 с.

Поступила 20. 12. 2006